

# 基于 GMD-DPC/THP 的两组 Alamouti 非线性预编码系统 \*

尚应博<sup>1</sup>, 赵悠悠<sup>1</sup>, 穆晓敏<sup>1</sup>, 张建康<sup>1, 2†</sup>

(1. 郑州大学 信息工程学院, 郑州 450001; 2. 东南大学 移动通信国家重点实验室, 南京 210096)

**摘要:** 针对 Alamouti 空时块编码复用增益损失的问题, 提出了两组 Alamouti 编码方案; 在此基础上, 为了改善系统的误码率 (bit error rate, BER) 性能和简化接收端复杂度, 提出将几何均值分解 (geometric mean decomposition, GMD) 算法和非线性预编码技术相结合的两组 Alamouti 传输方案。本方案的设计方法为: 首先等效出两组 Alamouti 空时块编码系统的信道矩阵; 进而, 通过 GMD 算法对等效信道矩阵进行收发端联合设计; 最后, 在发射端应用脏纸 (dirty paper coding, DPC) 和 Tomlinson-Harashima precoding (THP) 非线性预编码技术, 消除发送信号间的干扰, 从而使系统获得更好的误码率性能。通过仿真结果对比发现, 提出的系统可以显著地改善误码率性能。

**关键词:** 空时块编码; 非线性预编码; 几何均值分解; 脏纸编码; 等效信道

**中图分类号:** TN929.5      **doi:** 10.3969/j.issn.1001-3695.2018.01.0048

## Two-groups Alamouti nonlinear precoding system based on GMD-DPC / THP

Shang Yingbo<sup>1</sup>, Zhao Youyou<sup>1</sup>, Mu Xiaomin<sup>1</sup>, Zhang Jiankang<sup>1, 2†</sup>

(1. School of Information Engineering, Zhengzhou University, Zhengzhou 450001, China; 2. National Mobile Communications Research Laboratory, Southeast University, Nanjing 210096, China)

**Abstract:** In order to solve the problem of multiplexing gain loss in Alamouti space-time block coding, this paper proposed a two-groups Alamouti transmission scheme. On this basis, in order to improve the bit error ratio (BER) with lower computational complexity at the receiver, this paper proposed a two-groups Alamouti transmission scheme by combining Geometric Mean Decomposition (GMD) algorithm and non-linear precoding technique. The design method of the proposed solution consists of three main operations. Firstly, obtain the effective channel matrix of two-group Alamouti transmission systems. Secondly, jointly design the transceiver with the obtained effective channel matrix by exploiting the geometric mean decomposition (GMD) algorithm. Finally, mitigate the inter-channel interference by utilizing non-linear precoding techniques of Dirty Paper Coding (DPC) and Tomlinson-Harashima Precoding (THP). The simulation results demonstrate that the proposed scheme is capable of significantly improving the achievable BER performance.

**Key words:** space-time block coding; nonlinear precoding; GMD; dirty paper coding; equivalent channel

## 0 引言

多输入多输出 (multiple input multiple output, MIMO) 系统具有丰富的空间分集增益和复用增益, 已被第四代无线通信系统 (4G) 采用, 并成为第五代移动通信系统 (5G) 的基础技术之一。在分集增益的利用方面, 典型的代表是 Alamouti<sup>[1]</sup> 提出的基于两副发射天线的空时码 (space-time block coding, STBC), 该传输方案通过在两幅发射天线上的前后两个时隙, 设计空时正交的编码, 使得接收端只需简单的线性处理, 即可获得发送分集增益。但是, STBC 传输技术在利用传输分集的同时, 却丧失了空间复用增益。空间复用增益代表性技术是贝

尔实验室提出的垂直分层空时编码 (Bell Laboratories Layered Space-Time, BLAST) 传输方案, 该方案充分利用空间复用增益, 具有较高的发送速率, 但却丧失了空间分集增益。

为了同时取得分集增益和复用增益, 必须在可靠性和有效性之间进行折中。文献[2,3]提出空时块编码和空间复用技术相结合的混合传输系统。为了提高混合传输系统的误码率性能和系统的容量, 并降低接收端的复杂度, 文献[4~7]设计了 STBC-VBLAST 混合预编码系统。预编码是指在下行链路中, 基站通过反馈技术或者互易性原理, 在获取信道状态信息 (channel state information, CSI) 基础上对发送信号进行预处理。脏纸编码<sup>[8~10]</sup>和 THP<sup>[11,12]</sup>是非线性预编码的代表技术, 它们可以在基

**收稿日期:** 2018-01-31; **修回日期:** 2018-03-21      **基金项目:** 国家自然科学基金面上资助项目 (NSFC61571401); 东南大学移动通信国家重点实验室开放研究基金 (2016D02); 河南省高校科技创新人才资助项目 (18HASTIT021); 河南省高等学校青年骨干教师资助项目 (2015GGJS-154)

**作者简介:** 尚应博 (1993-), 男, 河南周口人, 硕士研究生, 主要研究方向为无线多输入多输出通信系统; 赵悠悠 (1993-), 女, 河南安阳人, 硕士研究生, 主要研究方向为航空通信; 穆晓敏 (1955-), 女, 教授, 博导, 主要研究方向为多天线无线通信系统、认知无线电、通信信号处理、图像信号处理等; 张建康 (1982-), 男 (通信作者), 河南开封人, 副教授, 博导, 主要研究方向为无线通信系统信号处理技术、大规模 MIMO、航空通信 (iejckzhang@zhu.edu.cn)。

站端消除信号链路之间的干扰, 简化接收端的运算复杂度并改善系统的误码率性能。

具体而言, 文献[6,7]提出一种组间使用 Alamouti 编码, 组内使用 BLAST 编码的预编码方案。然而文献[6]在系统接收端采取 QR 分解和最大似然估计 (maximum likelihood, ML) 算法进行检测, 接收端计算复杂度较高。为降低运算复杂度, 同时消除发送数据流的干扰, 文献[7]提出将两组 STBC 系统的等效信道矩阵做 QR 分解并在基站端应用 DPC 和 THP 非线性预编码方案, 有效地降低了接收端的计算复杂度, 并改善了系统的 BER 性能。但是, 文献[7]将有效信道矩阵进行 QR 分解容易受到上三角矩阵的较小对角元素的影响, 将会形成较差子信道, 因此, 误码率性能的提升受到很大限制。

文献[13]中提出了几何均值分解算法辅助 MIMO 信道分解。GMD 分解算法基本原理是将 MIMO 信道分解为多个相同的并行子信道, 子信道之间可以取得相同的增益, 将会克服个别较差子信道的影响, 使系统取得更好的 BER 性能。针对文献[7]中 QR 分解容易产生较差子信道的问题, 本文提出了将两组 Alamouti 系统的等效信道矩阵做 GMD, 有效地避免了较差子信道的产生。进而, 本文利用 DPC 和 THP 非线性预编码技术消除链路之间的干扰, 在降低接收端运算复杂度的同时, 提升系统的接收性能。也有利用 GMD-DPC/THP 在其他系统的文献, 如文献[14]等。符号说明:  $(\cdot)^T$  代表转置,  $(\cdot)^*$  代表共轭,  $(\cdot)^H$  代表共轭转置。

## 1 系统模型

这一节首先阐述以基于 LQ-DPC 的两组 Alamouti 非线性预编码系统模型, 并以此为基础引出本文提出的 GMD-DPC/THP 的两组 Alamouti 非线性预编码方案。本章分为等效信道和 LQ-DPC 预编码方案两部分介绍基于 LQ-DPC 的两组 Alamouti 非线性预编码系统模型。

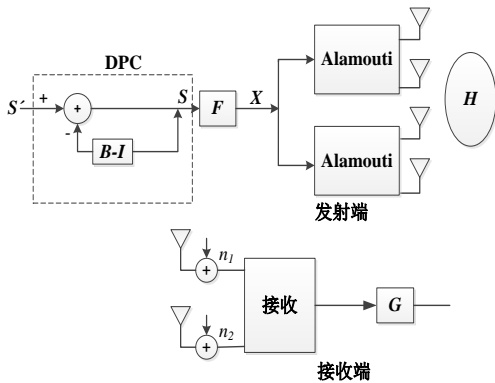


图 1 基于 LQ-DPC 的两组 Alamouti 非线性预编码系统

### 1.1 等效信道

基于 LQ-DPC 的两组 Alamouti 非线性预编码模型如图 1 所示。假设收发两端均已知 CSI。\$N\_t\$ 和 \$N\_r\$ 分别代表系统的发射天线数和接收天线数, 下面我们以 \$N\_t=4\$, \$N\_r=2\$ 为例阐述基于 LQ-DPC 的两组 Alamouti 非线性预编码传输方案的操作。其中,

系统模型中的 \$\mathbf{S}'\$ 代表原始发送符号, \$\mathbf{S}\$ 代表经过 DPC 预编码以后的发送符号, 令 \$\mathbf{S}'=[s'\_1 \ s'\_2 \ s'\_3 \ s'\_4]^T\$ 和 \$\mathbf{S}=[s\_1 \ s\_2 \ s\_3 \ s\_4]^T\$。\$\mathbf{B}\$ 代表反馈矩阵, \$\mathbf{F}\$ 代表预编码矩阵, \$\mathbf{X}\$ 代表 \$\mathbf{S}\$ 经过预编码矩阵 \$\mathbf{F}\$ 操作后的发送符号, 即: \$\mathbf{X}=\mathbf{F}\mathbf{S}\$。此外, \$\mathbf{X}\$ 可以进一步表达为 \$\mathbf{X}=[x\_1 \ x\_2 \ x\_3 \ x\_4]^T\$。\$n\_1\$、\$n\_2\$ 分别为标量的高斯白噪声, \$\mathbf{G}\$ 为接收端均衡器。\$\mathbf{H}\$ 为 \$2 \times 4\$ 维的独立同分布的平坦瑞利衰落信道矩阵, 其可表示为

$$\mathbf{H} = \begin{bmatrix} h_{11} & h_{12} & h_{13} & h_{14} \\ h_{21} & h_{22} & h_{23} & h_{24} \end{bmatrix} \quad (1)$$

预编码后的发送符号 \$\mathbf{X}\$ 经过两组 Alamouti 编码空时块编码后的发送符号矩阵可以表示为

$$\bar{\mathbf{X}} = \begin{bmatrix} x_1 & -x_2^* \\ x_2 & x_1^* \\ x_3 & -x_4^* \\ x_4 & x_3^* \end{bmatrix} \quad (2)$$

于是, 接收信号 \$\mathbf{Y}\$ 可表达为

$$\mathbf{Y} = \mathbf{H} \bar{\mathbf{X}} + [\mathbf{n}_1] \quad (3)$$

$$\mathbf{Y} = \begin{bmatrix} y_1^1 & y_1^2 \\ y_2^1 & y_2^2 \end{bmatrix}$$

其中, \$y\_j^i, \{i, j\}=1, 2\$ 是接收信号 \$\mathbf{Y}\$ 中的元素, \$j\$ 代表接收端的天线序号, \$i\$ 代表接收的时刻序号。将式(1)(2)代入式(3)中, 可将式 (3) 展开为

$$\begin{aligned} y_1^1 &= h_{11}x_1 + h_{12}x_2 + h_{13}x_3 + h_{14}x_4 + n_1 \\ y_1^2 &= -h_{11}x_2^* + h_{12}x_1^* - h_{13}x_4^* + h_{14}x_3^* + n_1^* \\ y_2^1 &= h_{21}x_1 + h_{22}x_2 + h_{23}x_3 + h_{24}x_4 \\ y_2^2 &= -h_{21}x_2^* + h_{22}x_1^* - h_{23}x_4^* + h_{24}x_3^* + n_2 \end{aligned} \quad (4)$$

对 \$y\_1^2\$、\$y\_2^2\$ 分别取共轭, 则接收信号可重新表达为

$$\bar{\mathbf{Y}} = \begin{bmatrix} y_1^1 \\ (y_1^2)^* \\ y_2^1 \\ (y_2^2)^* \end{bmatrix} = \underbrace{\begin{bmatrix} h_{11} & h_{12} & h_{13} & h_{14} \\ h_{12}^* & -h_{11}^* & h_{14}^* & -h_{13}^* \\ h_{21} & h_{22} & h_{23} & h_{24} \\ h_{22}^* & -h_{21}^* & h_{24}^* & -h_{23}^* \end{bmatrix}}_{\bar{\mathbf{H}}} \begin{bmatrix} x_1 \\ x_2 \\ x_3 \\ x_4 \end{bmatrix} + \begin{bmatrix} n_1 \\ n_1^* \\ n_2 \\ n_2^* \end{bmatrix} \quad (5)$$

$$\bar{\mathbf{Y}} = \bar{\mathbf{H}} \mathbf{X} \quad (6)$$

$$\bar{\mathbf{H}} \text{ 为两组 Alamouti 系统的等效信道矩阵, } \mathbf{N} = [n_1 \ n_1^* \ n_2 \ n_2^*]^T$$

为等效的噪声向量。

### 1.2 LQ-DPC

矩阵的 LQ 分解算法和 QR 分解算法本质上具有相同的分解特性。本小节将具体介绍基于 LQ-DPC 的两组 Alamouti 非线性预编码方案。设计流程主要可以分为以下三步操作:

a)将等效信道矩阵的共轭转置进行 QR 分解:

$$(\bar{\mathbf{H}})^H = \mathbf{Q} \mathbf{L} \quad (7)$$

则 \$\bar{\mathbf{H}} = \mathbf{R}^H \mathbf{Q}^H\$, 令 \$\mathbf{L} = \mathbf{R}^H\$。其中, \$\mathbf{Q}\$ 是酉矩阵, \$\mathbf{Q}^H \mathbf{Q} = \mathbf{I}\$。\$\mathbf{L}\$ 为下三角矩阵, 可以表示为

$$L = \begin{bmatrix} l_{11} & 0 & 0 & 0 \\ l_{21} & l_{22} & 0 & 0 \\ l_{31} & l_{32} & l_{33} & 0 \\ l_{41} & l_{42} & l_{43} & l_{44} \end{bmatrix} \quad (8)$$

令  $G = \text{diag}(l_{11}^{-1}, l_{22}^{-1}, l_{33}^{-1}, l_{44}^{-1})$ , 那么预编码矩阵  $F$  和反馈矩阵  $B$  分别可以表示为

$$F = Q \quad (9)$$

$$B = GL \quad (10)$$

b) DPC 预编码的矩阵可通过如下推导获得:

$$\begin{aligned} S' - (B - I)S &= S \\ S &= B^{-1}S' \end{aligned} \quad (11)$$

将  $X = FS$ , 式 (9) ~ (11) 代入式 (6) 中, 则接收信号可以展开表达为

$$\begin{aligned} \bar{Y} &= \bar{H}X + N \\ &= R^H Q^H Q B^{-1} S' + N \\ &= G^{-1} S' + N \end{aligned} \quad (12)$$

c) 利用  $G$  矩阵对接收信号进行均衡:

$$Y' = G\bar{Y} \quad (13)$$

可恢复出原始信号。

## 2 基于 GMD-DPC/THP 的两组 Alamouti 非线性预编码系统

式 (8) 中下的下三角矩阵  $L$  的对角元素并不相同, 物理含义上意味着 MIMO 系统里的各子信道之间具有不同的信噪比 (signal-to-noise ratio, SNR), 因而各个子信道传输质量存在显著差别, 对信道间干扰的消除带来难度, 从而影响系统总的可达性能。针对于这一问题, 本文提出将等效信道矩阵进行 GMD 分解, 使子信道之间拥有相同的 SNR, 从而获得具有相同增益的子信道。这样便于消除信道之间的干扰, 并可简化系统调制/解调和编码/解码等方案的设计, 改善系统的误码率性能。

### 2.1 基于 GMD-DPC 的两组 Alamouti 非线性预编码传输方案

基于 GMD-DPC 的两组 Alamouti 非线性预编码传输方案, 如图 2 所示。

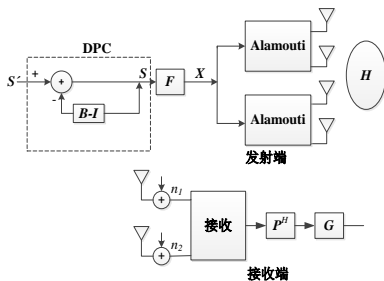


图 2 基于 GMD-DPC 的两组 Alamouti 非线性预编码系统

类似于第一章的符号体系,  $S'$  代表原始发送符号,  $S$  代表经过 DPC 预编码以后的发送符号,  $B$  为反馈矩阵,  $F$  代表预编码矩阵,  $X$  是  $S$  经过预编码矩阵  $F$  的发送符号,  $P^H$  和  $G$  都是接收端均衡器。此外, 通过 GMD 算法<sup>[13]</sup>得到预编码矩阵  $F$ 。具体而言, GMD 算法的设计原理如下:

$$\begin{aligned} \max_{Q, P} \min \{r_{ii} : 1 \leq i \leq K\} \\ \text{条件: } R = Q^H H P \Rightarrow H = Q R P^H \\ R \in \mathbb{R}^{K \times K}, r_{ij} = 0, \text{ for } i < j \\ r_{ii} \triangleq \left( \prod_{n=1}^K \lambda_{H,n} \right)^{1/K} > 0, \text{ for } 1 \leq i \leq K \\ Q^H Q = P^H P = I_K \end{aligned} \quad (14)$$

其中:  $K$  为信道矩阵的秩,  $r_{ii}$  和  $r_{ij}$  分别是上三角矩阵  $R$  的等对角元素和对角元素以外的上三角元素。其中,  $Q$ 、 $P$  都是半酉矩阵,  $Q Q^H = P P^H = I$ ,  $I$  为单位阵。 $\{\lambda_{H,n}\}_{n=1}^K$  是信道矩阵  $H$  的  $K$  个奇异值。从某种程度上, GMD 分解算法可以看做是拓展的 QR 分解算法。

在获取 MIMO 信道矩阵 GMD 分解的基础上, 基于 GMD 和 DPC 方案相结合的两组 Alamouti 传输技术可通过以下操作实现:

a) 将等效信道矩阵的共轭转置矩阵进行 GMD,

$$(\bar{H})^H = \bar{L} \quad (15)$$

则  $\bar{H} = P R^H Q^H$ 。因此, 预编码矩阵  $F = Q$ 。  $R^H$  为等对角元素的下三角矩阵, 其可以表示为:

$$R^H = \begin{bmatrix} r_{11} & 0 & 0 & 0 \\ r_{21} & r_{22} & 0 & 0 \\ r_{31} & r_{32} & r_{33} & 0 \\ r_{41} & r_{42} & r_{43} & r_{44} \end{bmatrix} \quad (16)$$

其中  $r_{11} = r_{22} = r_{33} = r_{44}$ 。

令  $G = \text{diag}(r_{11}^{-1}, r_{22}^{-1}, r_{33}^{-1}, r_{44}^{-1})$ , 那么反馈矩阵  $B$  和经过 DPC 预编码以后的发送符号  $S$ , 分别可以表达为:

$$\begin{aligned} B &= G R^H \\ S &= I \end{aligned} \quad (18)$$

b) 将  $\bar{H} = P R^H Q^H$ 、预编码矩阵  $F = Q$ 、 $X = FS$ 、式 (17) (18) 代入到式 (12) 中, 则接收信号可表达为

$$\begin{aligned} (\bar{Y})_{\text{GMD-DPC}} &= \bar{H}X + N \\ &= P R^H Q^H F B^{-1} S' + N \\ &= P G^{-1} S' + N \end{aligned} \quad (19)$$

通过对接收信号均衡:

$$(Y')_{\text{GMD-DPC}} = G P^H (\bar{Y})_{\text{GMD-DPC}} \quad (20)$$

可获得原始发送信号。

### 2.2 基于 GMD-THP 的两组 Alamouti 非线性预编码传输方案

2.1 小节介绍了基于 GMD 算法和 DPC 预编码技术相结合的两组 Alamouti 的传输方案。然而, 该方案由于信号经过预编码并反复反馈累加, 将急剧增加系统的系统的峰值工作, 对传输端的功放模块的设计带来巨大的挑战。为了解决这个问题, 通过在 DPC 的基础上加入了模运算, 即所谓的 THP 预编码技术, THP 预编码技术通过模运算可以避免信号能量的无限累积,

从而实现降低峰值-平均功率比 (peak-to-average power ratio, PAPR) [7,15~17]。基于 GMD-THP 的两组 Alamouti 非线性预编码系统模型图, 如图 3 所示。

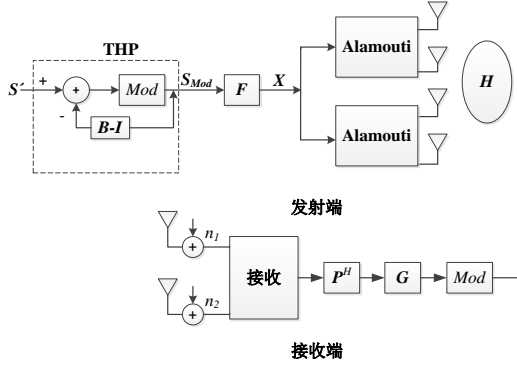


图 3 基于 GMD-THP 的两组 Alamouti 非线性预编码系统  
其中,  $Mod$  为模运算, 其余变量符号的物理含义和 2.1 小节系统模型中符号的物理含义相同。按照 2.1 小节的式 (18) 展开, 表达为

$$\begin{bmatrix} r_{11} & 0 & 0 & 0 \\ r_{21} & r_{22} & 0 & 0 \\ r_{31} & r_{32} & r_{33} & 0 \\ r_{41} & r_{42} & r_{43} & r_{44} \end{bmatrix} \begin{bmatrix} s_1 \\ s_2 \\ s_3 \\ s_4 \end{bmatrix} = \begin{bmatrix} r_{11}s_1 \\ r_{21}s_1 + r_{22}s_2 \\ r_{31}s_1 + r_{32}s_2 + r_{33}s_3 \\ r_{41}s_1 + r_{42}s_2 + r_{43}s_3 + r_{44}s_4 \end{bmatrix} \quad (21)$$

基于 GMD-THP 的两组 Alamouti 非线性预编码将 DPC 预编码之后的发送信号进行  $Mod$  运算, 从而构成新的发送符号  $S_{Mod}$ , 有效地避免预编码之后的信号幅值等累积增大。具体操作过程如下:

$$\begin{aligned} s_1 &= Mod(s_1'), \\ s_2 &= Mod(s_2' - \frac{r_{21}}{r_{22}} s_1), \\ s_3 &= Mod(s_3' - \frac{r_{32}}{r_{33}} s_2 - \frac{r_{31}}{r_{33}} s_1), \\ s_4 &= Mod(s_4' - \frac{r_{43}}{r_{44}} s_3 - \frac{r_{42}}{r_{44}} s_2 - \frac{r_{41}}{r_{44}} s_1) \end{aligned} \quad (22)$$

以 M-QAM 的星座映射为例, 提出方案的  $Mod$  模运算可定义为

$$Mod_A(s_1') = s_1' - 2A \left\lfloor \frac{s_1' + A}{2A} \right\rfloor \quad (23)$$

其中:  $s_1'$  为原始发送符号的其中一个元素,  $\lfloor \cdot \rfloor$  代表向下取整运算。当调制方式为 M-QAM 映射时,  $A = \sqrt{M}$ 。将经过预编码和模运算后的新发送符号  $S_{Mod}$  代入公式 (19) 中, 接收信号可表示为

$$(\bar{Y})_{GMD-THP} = \bar{H}FS_{Mc} \quad (24)$$

对接收信号进行均衡并再次进行模运算可得

$$Mod[(\bar{Y})_{GMD-THP}] = Mod[GP^H(\bar{Y})_{GMD-THP}] \quad (25)$$

即可恢复出原始发送信号。

### 3 计算机仿真与分析

为验证提出方案的有效性, 本文以发送天线数为  $N_t=4$ , 接收天线数为  $N_r=2$  为例, 进行蒙特卡洛仿真分析。假设信道为独立同分布的瑞利衰落信道, 且发射端能够获取完美的信道状态信息。

图 4 对提出的基于 GMD-DPC 的两组 Alamouti 非线性预编码系统与基于 LQ-DPC 的两组 Alamouti 预编码系统以及未进行预编码的两组 Alamouti 系统的误码率进行仿真分析对比。本仿真采用的调制方式为 QPSK。通过图 4 可以看出新提出的系统的误码率明显地优于基于 LQ-DPC 的两组 Alamouti 预编码系统和未进行预编码的两组 Alamouti 系统。在  $BER=10^{-4}$  时, 提出的基于 GMD-DPC 的两组 Alamouti 非线性预编码系统相比于 LQ-DPC 的两组 Alamouti 预编码系统获得了大约 6 dB 性能增益, 相比于未进行预编码的两组 Alamouti 系统获得了大约 9 dB 性能增益。

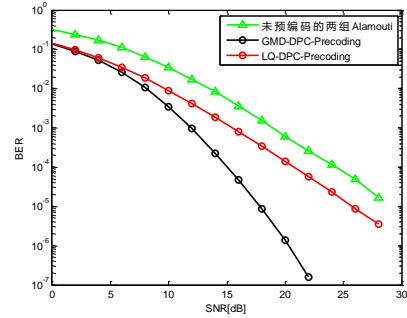


图 4 GMD-DPC、LQ-DPC 和未预编码的两组 Alamouti 系统误码率对比

图 5 描述了基于 GMD-THP、LQ-THP 的两组 Alamouti 非线性预编码系统和未预编码的系统的 BER 性能对比, 本仿真采用的调制方式为 QPSK。通过图 5 可以看出基于 GMD-THP 的误码率明显地优于基于 LQ-THP 的两组 Alamouti 预编码系统和未进行预编码的两组 Alamouti 系统。在  $BER=10^{-4}$  时, 提出的基于 GMD-DPC 的两组 Alamouti 非线性预编码系统相比于 LQ-DPC 的两组 Alamouti 预编码系统获得了大约 6.5 dB 性能增益, 相比于未进行预编码的两组 Alamouti 系统获得了大约 8.5 dB 性能增益。

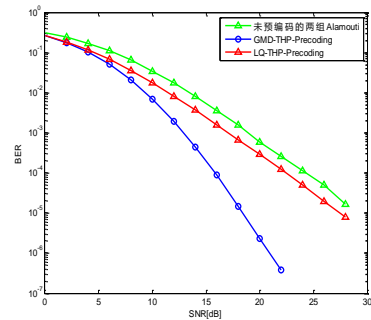


图 5 GMD-THP、LQ-THP 和未预编码的两组 Alamouti 的误码率对比

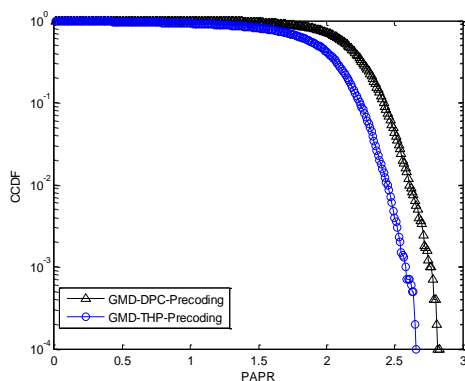


图 6 GMD-DPC 和 GMD-THP 的两组 Alamouti 系统的 PAPR 的 CCDF 对比

为分析 GMD-THP 对峰值功率降低方面的优势, 图 6 给出了基于 GMD-THP 和 GMD-DPC 的两组 Alamouti 非线性预编码系统的 PAPR 性能, 其中纵坐标为  $1-P(\text{PAPR} \leq x)$ , 即 PAPR 的互补累积函数 (Complementary Cumulative Distribution Function, CCDF), 横轴标为 PAPR 值。本仿真仍采用 QPSK 调制。通过仿真图 6 可看出, 通过模运算, GMD-THP 比 GMD-DPC 具有更低的 PAPR。具体而言, 在  $\text{CCDF}=10^{-4}$  时, GMD-THP 获得了大约 0.2dB 的 PAPR 增益。

#### 4 结束语

传统 DPC 和 THP 预编码技术分别具有峰值功率过大和分解的子信道差异过大等缺点, 严重影响系统总体可达性能。本文利用 GMD 矩阵分解对角线元素相等的特性, 将其转换 MIMO 信道分解后的等增益, 分别提出基于 GMD-DPC 和 GMD-THP 的两组 Alamouti 非线性预编码系统。蒙特卡洛仿真验证, 提出的两种预编码方案可以有效避免显著地改善系统可获得 BER 性能, 且 THP 预编码比 DPC 预编码能够带来更好的 PAPR 性能。

#### 参考文献:

[1] Alamouti S M. Simple transmit diversity technique for wireless communications [J]. IEEE Journal on Selected Areas in Communications, 1998, 16 (8): 1451-1458.

[2] Zhao Lan, Dubey V K. Detection schemes for space-time block code and spatial multiplexing combined system [J]. IEEE Communications Letters, 2005, 9 (1): 49-51.

[3] Onggosanusi E N, Dabak A G, Schmidl T M. High rate space-time block coded scheme: performance and improvement in correlated fading channels [C]// Proc of IEEE Wireless Communications and Networking Conference. 2002: 194-199.

[4] Chen Meng, Tuqan Jamal. Precoded STBC-VBLAST for MIMO wireless

communication systems [C]// Proc of IEEE International Conference on Acoustics, Speech and Signal Processing. 2007: 337-340.

- [5] Lu Jihua, Pei Guangkun, Li Xiangming, *et al.* Performance of STBC-VBLAST hybrid system based on GMD precoding algorithm [C]// Proc of Global Mobile Congress. Washington DC: IEEE Computer Society, 2011: 1-6.
- [6] Zhang Zhenchuan, Chen Bo. A precoding scheme for STBC-VBLAST system [C]// Proc of International Conference on Wire-less Communications, Networking and Mobile Computing. 2011: 1-4.
- [7] Deng J H, Jhan S C, Huang Shengyang. A low-complexity precoding transceiver design for double STBC system [C]// Proc of the 35th International Conference on Telecommunications and Signal Processing. 2012: 196-200.
- [8] Costa M H M. Writing on dirty paper (Corresp. ) [J]. IEEE Trans on Information Theory, 1983, 29 (3): 439-441.
- [9] Zois G, Michaloliakos A, Psounis K, *et al.* Non-asymptotic performance bounds for downlink MU-MIMO scheduling [C]// Wireless On-Demand Network Systems and Services. 2016: 1-8.
- [10] Ginis G, Cioffi J M. A multi-user precoding scheme achieving crosstalk cancellation with application to DSL systems [C]// Proc of the 34th Asilomar Conference on Signals, Systems and Computers. 2002: 1627-1631 vol. 2.
- [11] Fischer R F H, Windpassinger C, Lampe A, *et al.* Space-time transmission using Tomlinson-Harashima precoding [C]// Proc of the 4th International ITG Conference on Source and Channel Coding. 2002: 139-147.
- [12] 张蕾. 非线性预编码技术研究 [D]. 杭州: 浙江大学, 2016. (Zhang Lei. Research on nonlinear precoding techniques) [D]. Hangzhou: Zhejiang University, 2016. )
- [13] Jiang Yi, Li Jian, Hager W W. Joint transceiver design for MIMO communications using geometric mean decomposition [J]. IEEE Trans on Signal Processing, 2005, 53 (10): 3791-3803.
- [14] Li Haitao. Joint dirty paper precoding and user scheduling for downlink coordinated multipoint transmission system [C]// Proc of the 5th International Conference on Wireless Communications, Networking and Mobile Computing. 2009: 1-4.
- [15] Yong S C, Kim J, Yang W Y, *et al.* MIMO-OFDM wireless communications with MATLAB [M]. [S. l. ] : Wiley Publishing, 2010.
- [16] Nouné M, Andrew N. Frequency-domain precoding for single carrier frequency-division multiple access [J]. IEEE Communications Magazine, 2009, 47 (6): 68-74.
- [17] Soma S B, Mallikarjuna P A, Muralikrishna K. Peak-to-average-power ratio reduction using low-complexity MIMO SFBC CI-OFDM system [J]. Wireless Personal Comm-unications, 2015, 80 (2): 571-580.